

COMUNICAÇÃO TÉCNICA

Nº 179895

Simulação e validação experimental de uma antena microstrip

Gustavo Ramos Felix Kleber Jesus de Oliveira Marcelo Sanches Dias

> Pôster apresentado no CONGRESSO DE MODELAGEM, SIMULAÇÃO COMPUTACIONAL E IA DO IPT, 1., 2025, São Paulo. 1 slide.

A série "Comunicação Técnica" compreende trabalhos elaborados por técnicos do IPT, apresentados em eventos, publicados em revistas especializadas ou quando seu conteúdo apresentar relevância pública. **PROIBIDO REPROUÇÃO**



I CONGRESSO DE MODELAGEM, SIMULAÇÃO COMPUTACIONAL 1D1



SIMULAÇÃO E VALIDAÇÃO EXPERIMENTAL DE UMA ANTENA MICROSTRIP

G R Felix, K J Oliveira, M S Dias Instituto de Pesquisa Tecnológica do Estado de São Paulo

Introdução

A evolução dos sistemas de comunicação sem fio tem impulsionado o desenvolvimento de antenas compactas, de baixo custo e com bom desempenho em faixas de frequência cada vez mais utilizadas no cotidiano. Entre as diversas soluções existentes, as antenas microstrip destacam-se por sua simplicidade construtiva, perfil reduzido e facilidade de integração a circuitos impressos, o que as torna ideais para aplicações em dispositivos móveis, redes Wi-Fi, Bluetooth, RFID e sistemas embarcados [1]. As antenas microstrip possuem três camadas principais: um patch condutor, um substrato dielétrico e um plano de terra. Seu funcionamento se baseia na ressonância eletromagnética, na qual o patch atua como cavidade ressonante responsável pela irradiação [2]. O desempenho depende das dimensões do patch e das propriedades do substrato, parâmetros que podem ser calculados por equações que relacionam comprimento efetivo, largura e permissividade elétrica à frequência de operação.

Objetivos

Desenvolver, simular e validar experimentalmente uma antena microstrip para operação em 2,4 GHz, abrangendo desde o cálculo teórico e projeto no HFSS até a fabricação em placa de fenolite, avaliando parâmetros como S11, largura de banda, ganho e diagrama de radiação, a fim de comprovar a consistência entre teoria, simulação e prática.

Metodologia / Modelagem

As antenas microstrip possuem estrutura simples, composta por um condutor superior denominado patch, um substrato dielétrico e um plano de terra na parte inferior. A frequência de ressonância de uma antena patch retangular pode ser aproximada pela expressão [3]:

$$f_r = \frac{c}{2L_{ef}\sqrt{\in_{ef}}}\tag{1}$$

Onde:

 f_r é a frequência de ressonância (Hz);

c é a velocidade da luz no vácuo;

 L_{ef} é o comprimento elétrico efetivo do patch;

 \in_{ef} é a permissividade dielétrica efetiva do substrato.

O comprimento efetivo é obtido a partir da soma do comprimento físico e da extensão de franja de campo, dada por:

$$L_{ef} = L + 2\Delta L \tag{2}$$

Sendo ΔL a extensão de franja de campo, calculada por:

$$\Delta L = 0.412h \cdot \frac{(\epsilon_{ef} + 0.3)(\frac{W}{h} + 0.264)}{(\epsilon_{ef} - 0.258)(\frac{W}{h} + 0.8)} \tag{3}$$

A permissividade efetiva do substrato é:

$$\epsilon_{ef} = \frac{\epsilon_r + 1}{2} + \frac{\epsilon_r - 1}{2} \cdot (1 + \frac{12h}{W})^{-1/2}$$
(4)

Onde:

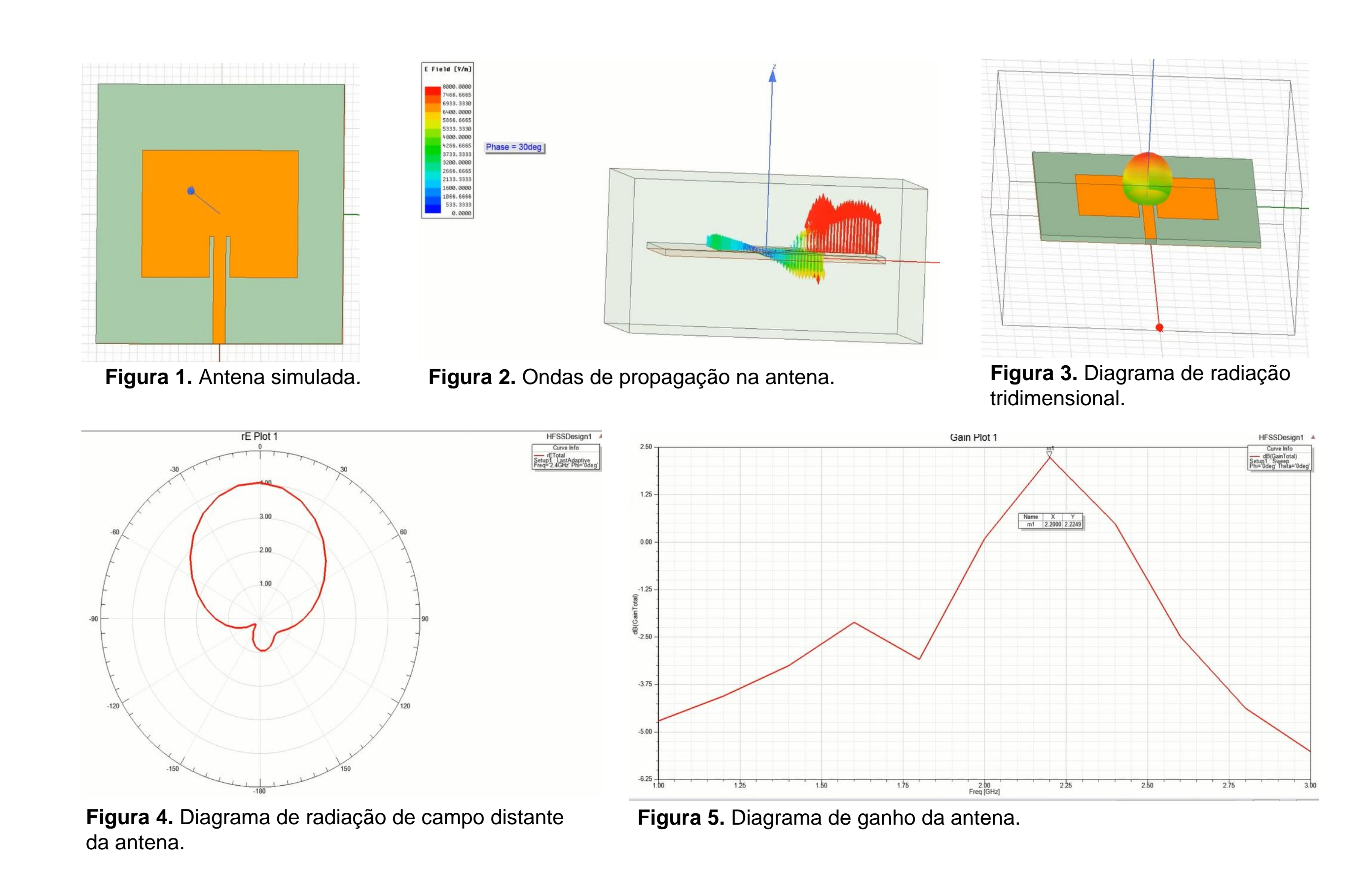
r é a constante dielétrica do substrato;

h é a altura do substrato;

W é a largura do patch.

Simulação no Software ANSYS HFSS

Com as dimensões estimadas, a antena foi projetada no software ANSYS HFSS, ferramenta que possibilita a análise eletromagnética tridimensional. Na simulação, avaliou-se o parâmetro S11, que indicou boa adaptação de impedância na frequência desejada, com valor inferior a –10 dB em torno de 2,4 GHz. Também foram analisados a largura de banda, o diagrama de radiação e o ganho da antena, confirmando um comportamento direcional coerente com a teoria. Essa etapa de simulação foi essencial para refinar o projeto e ajustar dimensões que, na prática, sofrem pequenas variações devido ao substrato e à alimentação. As Figuras 1 até 5 mostram esse desenvolvimento.



A etapa seguinte consistiu na fabricação da antena em placa de fenolite, escolhida pela facilidade de manuseio. O processo envolveu a transferência do layout do patch para a superfície cobreada, seguida da corrosão em percloreto de ferro $(FeCl_3)$ para remoção do excesso de cobre, restando apenas o desenho da antena. Por fim, o conector de entrada foi soldado, finalizando a montagem física.

Resultados e Discussão

A antena projetada no HFSS apresentou ressonância em 2,4 GHz, com retorno de perda em torno de –18 dB, largura de banda de aproximadamente 100 MHz e ganho estimado de 6 dBi. Após a fabricação em fenolite e testes com o NanoVNA, observou-se ressonância prática em 2,5 GHz, com S11 abaixo de –10 dB, garantindo boa adaptação de impedância. O ganho medido ficou entre 4 e 5 dBi, próximo ao previsto.



Figura 6. Antena confeccionada

Conclusões

Foi possível demonstrar a consistência entre teoria, simulação e prática, comprovando que a metodologia empregada permite não apenas projetar, mas também fabricar e validar experimentalmente uma antena microstrip de forma eficiente e confiável...

Referências

[1] L. A. de Asis, *Microstrip Antenna Design*. J. Res. Sci. Eng., v.6, n.12, p.8–12, 2024.

[2] P. L. V. Jannuzzi, Caracterização de antenas em ambiente anecoico. UFSC, 2020.

[3] M. Grilo; F. S. Correra, *Antena patch retangular em substrato têxtil*. CBMag, USP, 2019.

Agradecimentos

Este trabalho contou com o apoio do Instituto de Pesquisa e Tecnologia do Estado de São Paulo. Agradecemos também aos colegas do LGE pela colaboração.